

Production d' H_2 par reformage catalytique de CH_4 et captage de CO_2 dans un réacteur.

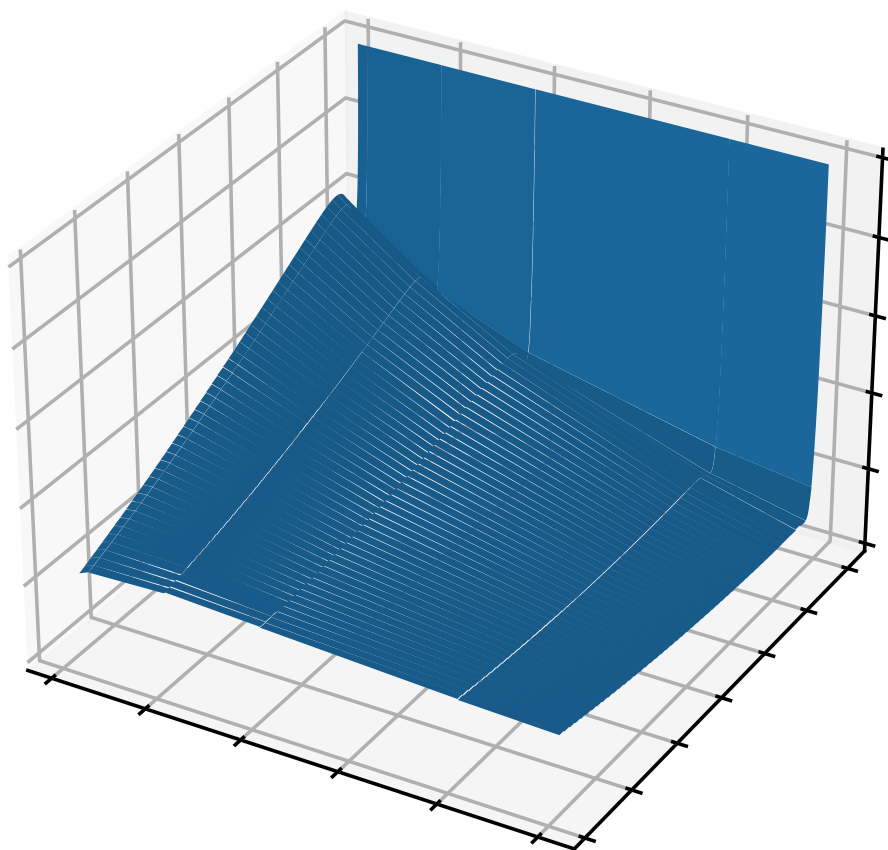


Table des matières

Question 1	2
1.1 Méthode de la sécante	2
1.2 Méthode de la bisection	2
Question 2	3
2.1 Création d'odefunction	3
2.2 Résolution d'équation différentielle	3
Question 3	5
3.1 Modèle sans capture de CO_2	5
3.2 Effet du flux de CaO sur le modèle	5
3.3 Effet du flux des gaz sur le modèles	6
3.4 Effet de la composition du gaz d'entrer sur le modèle	6
Question 4	7
4.1 Fonction du taux de CO_2 par rapport à us	7
4.2 Recherche d'un us optimal	7
4.3 Effet de la température sur le us optimale	8

Question 1

1.1 Méthode de la sécante

Notre fonction sécante requiert trois arguments nécessaires au bon fonctionnement de la méthode qui sont :

- *fun*, la fonction dont on recherche les racines,
- *x*, un tableau contenant les deux valeurs de *x* de départ
- *tol*, la tolérance qui permet de gérer la précision des résultats (la boucle s'arrête lorsque $abs(x_0 - x_1) \geq tol$)

Logiquement nous devons donc compromettre la précision pour limiter les calculs et donc ne pas mettre une tolérance trop faible. Nous avons opté, après une multitude d'essais, pour une valeur de 5×10^{-4} qui nous permet de garder une bonne précision pour un temps d'exécution faible.

Nous avons implémenté la fonction en s'assurant tout d'abord que toutes les conditions initiales soient bonnes et, pour que la fonction n'itère pas à l'infini, nous avons introduit *max_i* en arguments *kwargs* avec une valeur par défaut élevée qui restreint la fonction à ne pas faire plus d'itérations que ce nombre tout en laissant une marge afin de ne pas arrêter trop vite l'exécution. Après avoir pris nos précautions, une boucle va itérer tant que l'évaluation de la fonction en *x1* est plus petite ou égale à notre *tol* (nous utilisons la tolérance car il est quasiment impossible que la valeur soit exactement égale à 0 par les méthodes numériques).

Nous avons décidé de séparer le calcul du numérateur et du dénominateur : si le numérateur $y_1 \times (x_1 - x_0)$ est égal à 0, *x0* et *x1* doivent avoir la même valeur du coup la fonction retourne -1 pour indiquer que la fonction ne converge pas. Si le dénominateur $y_1 - y_0$ est égal à 0, la fonction ne converge pas vu la méthode de la sécante : la droite passe par deux points qui forment une droite parallèle à l'abscisse. La boucle se finira soit par le non-respect de sa condition ou bien si la boucle fait un nombre anormalement grand d'itérations.

1.2 Méthode de la bisection

Les arguments sont les mêmes que dans la méthode de la sécante avec la même tolérance de 5×10^{-4} mais sans introduire *max_i* car si les conditions initiales sont respectées, la fonction convergera toujours. Nous nous assurons donc que les conditions initiales sont respectées en posant l'hypothèse que la fonction traitée est continue.

Pour se rapprocher de la racine nous allons itérer pendant *k* itérations égal à $\log_2(\frac{x_1 - x_0}{2 \times tol})$ comme vu dans le cours. Dans cette boucle, on calcule la moyenne des abscisses des deux points qui sera celle de notre nouveau point. Si la valeur de la fonction en ce point est positive, on remplace *x1* (à image positive) par cette moyenne et inversement. Après toutes les itérations, la valeur de *xi* sera la valeur de notre racine.

Question 2

2.1 Création d'odefunction

Notre fonction *odefunction* est une fonction qui reçoit trois arguments :

- z , la distance axiale du réacteur
- $C0$, le tableau avec les valeurs initiales des huit variables d'état : les concentrations initiales en CH_4 , H_2O , H_2 , CO , CO_2 la conversion fractionnaire X , la température T et la pression P
- *mode* et *param*, qui nous serviront plus tard

La fonction *odefunction* calcule la dérivée du tableau $\frac{dC}{dz}$ et retourne ces valeurs. Pour plus de clarté et de flexibilité, les constantes ont été placées dans le fichier *constants.py*. Certaines constantes sont implémentées sous forme de fonction, cela n'est pas optimisé pour le temps mais nous avons opté pour cette option par soucis de lisibilité et de flexibilité, ce qui nous a aidé pour la question 3.

2.2 Résolution d'équation différentielle

Notre fonction *calculConcentrationEuler* est une fonction qui suit la méthode d'Euler explicite au premier ordre pour résoudre approximativement l'équation contenue dans *odefunction*. Cette fonction prend cinq arguments en entrée :

- *fun*, la fonction à résoudre
- x , un tableau contenant les bornes pour lesquels l'équation doit être résolue
- $y0$, les valeurs initiales de la fonction
- *step*, le pas qui est par défaut à $5e-8$
- *mode* et *param*, qui nous serviront plus tard.

La fonction renvoie une approximation de la résolution de la fonction.

La fonction *solve_ivp* prend les mêmes arguments que *calculConcentrationEuler*. Nous avons aussi modifier les valeurs de la tolérance relative *rtol* et de la taille maximum du pas *max_step* qui ont tous deux pour but d'augmenter la précision de notre approximation. Nous avons choisi notre *rtol* égale à 5×10^{-7} et notre max-step égale à 1×10^{-6} , ces valeurs sont les meilleurs compromis que nous avons trouvé entre une précision correcte et une durée d'exécution minimale.

<i>tol</i>	Temps	Taux d'erreur
$5e-1$	$19.7 \mu s$	61.41%
$5e-2$	$20.9 \mu s$	61.41%
$5e-7$	$9.32 s$	64.52%
$5e-8$	$1 \text{ min } 56 s$	0.98%
$5e-9$	$20 \text{ min } 21 s$	0.01%
$5e-10$	$3 h 3 \text{ min}$	0.0003%

FIGURE 2.1 – Taux d'erreur par tolérance

Après plusieurs tests, nous pouvons conclure que *solve_ivp* est beaucoup plus efficace que notre fonction. Notre fonction prend environs $((x \text{ minutes}))$ pour résoudre l'équation tandis que *solve_ivp* ne prend que 19.22 minutes, *solve_ivp* va donc $((x))$ fois plus vite. Ceci est probablement dû au fait que *solve_ivp* utilise un pas variable mais pas notre fonction. *solve_ivp* est également beaucoup plus précis puisqu'elle utilise une méthode d'ordre supérieur. Nous concluons que *solve_ivp* est beaucoup plus efficace, que ce soit pour le temps d'exécution que pour la précision.

Question 3

Pour cette question 3, nous avons introduit les arguments optionnels *mode* et *param* à ode-function. *mode* nous permet de tester différentes conditions de notre réacteur. Lorsque *mode* est à 0, le système fonctionne avec les paramètres de base, lorsqu'il est à 1, le modèle ne prend pas en compte la carbonatation, lorsqu'il est à 2, on remplace *us* par la valeur de *param* et lorsqu'il est à 3, on remplace *ug* par la valeur de *param*.

3.1 Modèle sans capture de CO_2

Afin de comparer un modèle de réacteur avec et sans capture de CO_2 , nous avons mis le mode de odefunction à 3, soit un modèle sans capture de CO_2 . Pour simuler ceci, nous avons remplacé la conversion fractionnaire (X), le taux de consommation de CO_2 par carbonatation ($rcbn$) et la vitesse d'entrée du CaO dans le réacteur (us) par 0 car ils n'interviennent plus dans le modèle sans capture de CO_2 .

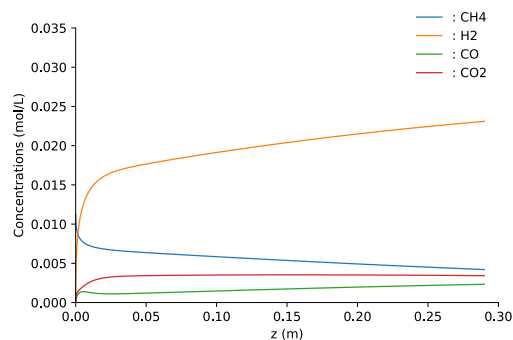


FIGURE 3.2 – Variation des concentrations avec carbonatation

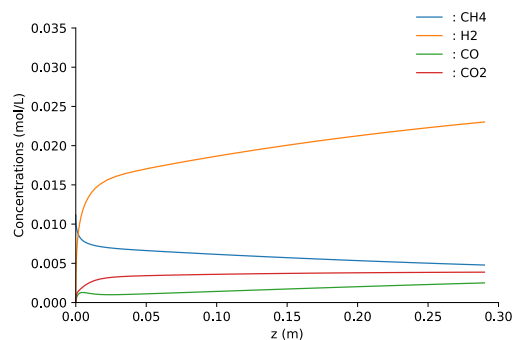


FIGURE 3.3 – Variation des concentrations sans carbonatation

Pour comparer un système avec et sans carbonatation, il est difficile d'utiliser des graphiques car, comme on peut le voir aux figures 3.2 et 3.3, la tendance générale du graphique ne varie pas énormément avec ou sans carbonatation. C'est pour cela que nous allons nous fier aux valeurs finales des concentrations (voir figure 3.4). Donc quand on bloque la capture de CO_2 : le CH_4 , le CO_2 et le CO le augmentent de 14.7%, 12.6% et 6.5% respectivement. Le H_2 et la température diminuent seulement de 0.9% et 0.5% respectivement.

3.2 Effet du flux de CaO sur le modèle

Pour analyser l'effet du flux d'entrée de CaO , nous avons fait varier la valeur de us à l'aide du mode 2. Nous l'avons fait varier de 0.001 à 0.025 $m.s^{-1}$.

((EXPLIQUER GRAPHIQUES)))

Nom	<i>mode 0</i>	<i>mode 1</i>	Différence
CH_4	0,00417 $\frac{mol}{L}$	0,00478 $\frac{mol}{L}$	+14,7%
H_2	0,02322 $\frac{mol}{L}$	0,02302 $\frac{mol}{L}$	-0.9%
CO	0,00235 $\frac{mol}{L}$	0,00250 $\frac{mol}{L}$	+6.5%
CO_2	0,00344 $\frac{mol}{L}$	0,00387 $\frac{mol}{L}$	+12.6%
T°	920,23 K	915,85 K	-0.5%

FIGURE 3.4 – Effet de la carbonatation sur le modèle

3.3 Effet du flux des gaz sur le modèles

Pour analyser le flux des gaz, nous avons fait varier ug à l'aide du mode 3 en changeant la valeur de 1 à 3 $m.s^{-1}$ avec un pas de 0.5.

((EXPLIQUER GRAPHIQUES)))

3.4 Effet de la composition du gaz d'entrer sur le modèle

Dans le but de modifier les compositions initiales de gaz, nous avons fait varier le rapport des concentrations initiales en H_2O et CH_4 de 3 à 0.3.

((EXPLIQUER GRAPHIQUES)))

Question 4

4.1 Fonction du taux de CO_2 par rapport à us

optimise_us crée la fonction du pourcentage de CO_2 en sortie par rapport à us , ce qui nous permet de déterminer un us optimal. Cette fonction prend 5 arguments en entrée :

- Y , le pourcentage de CO_2 souhaité à la sortie du réacteur
- us , la valeur de us
- $C0$, le tableau des conditions initiales pour *odefunction*
- *mode_* et *param1*, équivalents du *mode* et *param* de *odefunction*

Cette fonction résout *odefunction* grâce à *solve_ivp* et retourne la concentration finale de CO_2 divisé par la somme des concentration finale de CH_4 , H_2 , CO et de CO_2 . Le tout est ensuite soustrait par Y pour corriger le décalage vertical.

4.2 Recherche d'un us optimal

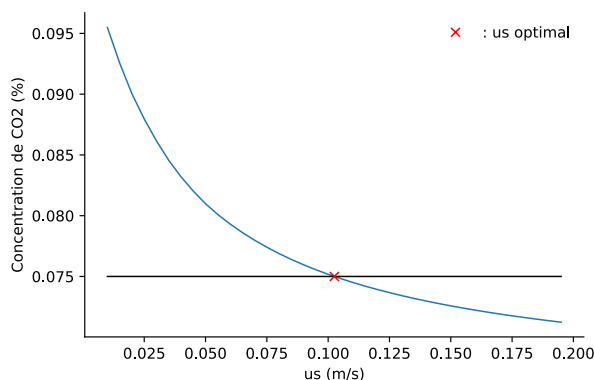


FIGURE 4.5 – Valeur optimal de us

Dans ce cas, nous devons trouver la valeur optimale de us pour une concentration en CO_2 de 7.5%. On peut voir la fonction *optimise_us* ainsi que la valeur optimale sur la figure 4.5 qui représente us en fonction du pourcentage de CO_2 parmi les gaz secs en sortie. Notre fonction *hybrid* nous renvoie une racine située en $x = 0.101$.

La méthode utilisée pour trouver la racine est une méthode hybride qui est simplement la méthode de la sécante légèrement modifiée : si la sécante ne converge pas dû à des images de x_0 et x_1 égales, alors on s'inspire de la méthode de la bisection pour débloquer la situation. Pour ce faire, on effectue la moyenne des deux points et on utilise ce nouveau point pour relancer la fonction sécante. Ce faisant, on bénéficie de la précision accrue de la méthode de la sécante ainsi que sa vitesse bien supérieure à la bisection.

4.3 Effet de la température sur le us optimale

La figure 4.6 illustre la variation du us optimal en fonction de la température. Il est clair que us dépend de la température. Nous le voyons décroître très rapidement, presque exponentiellement. Donc, plus la température est élevée, plus la vitesse d'entrée optimale des gaz pour un pourcentage de CO_2 donné est petite.

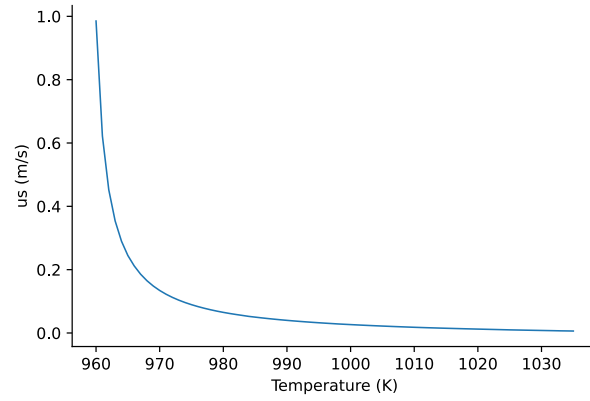


FIGURE 4.6 – (((Us en fonction de la température)))